

Introduction au calcul scientifique pour les EDP de la physique.

Patrick Joly

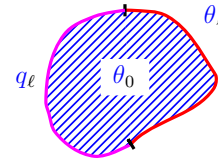
INRIA-Rocquencourt

Introduction au calcul scientifique pour les EDP de la physique. – p.1/21

Un exemple de problème à résoudre.

Exemple: la conduction de la chaleur. Soit Ω un domaine de \mathbb{R}^N ($N = 1, 2, 3$) de frontière $\Gamma = \partial\Omega = \Gamma_0 \cup \Gamma_1$. On s'intéresse à la **distribution** de température dans Ω et à ses **fluctuations** dans le temps sachant que:

- Une température θ_ℓ est imposée sur la partie Γ_0 .
- Un flux de chaleur q_ℓ est imposé sur la partie Γ_1 .
- On connaît la distribution de température initiale θ_0 .



Introduction au calcul scientifique pour les EDP de la physique. – p.2/21

La démarche de l'ingénieur mathématicien

1. Modélisation / mise en équations.
 - Construction du problème **continu** (système d'EDP).
2. Analyse mathématique du problème posé. **COURS-TD**
 - Questions d'**existence**, **unicité**. **Propriétés** des solutions.
3. Conception d'une méthode numérique. **COURS-TD**
 - Construction d'un problème **discrétisé**.
4. Analyse numérique. **COURS-TD**
 - Questions de **stabilité**, **convergence**, **précision**.
5. Algorithmique. **ADMIS**
 - Choix de méthodes de résolution en **dimension finie**.
6. Mise en oeuvre sur ordinateur. **PROJETS**
 - Relève de la **programmation** et de l'**informatique**
7. Pre et Post Traitement (maillages / visualisation).
 - Outils de la **CAO**.

Introduction au calcul scientifique pour les EDP de la physique. – p.3/21

La mise en équations

Les **données** du problème:

- La **géométrie** du problème $(\Omega, \Gamma_0, \Gamma_1)$
- Les fonctions: $\theta_0(x), x \in \Omega$, $\theta_\ell(x, t), x \in \Gamma_0$, $q_\ell(x, t), x \in \Gamma_1$.
- La **conductivité** du milieu : $\sigma(x) > 0, x \in \Omega$.

Les **inconnues** du problème:

- La **température** : $\theta(x, t), x \in \Omega, t > 0$.
- Le **flux** de chaleur: $\vec{q}(x, t), x \in \Omega, t > 0$.

Les lois de la **physique**:

- Loi de **conservation** : $\frac{\partial \theta}{\partial t} + \operatorname{div} \vec{q} = 0$.
- Loi de **conduction** : $\vec{q} = -\sigma \nabla \theta$.

Introduction au calcul scientifique pour les EDP de la physique. – p.4/21

La mise en équation

- Loi de **conservation** : $\frac{\partial \theta}{\partial t} + \operatorname{div} \vec{q} = 0$.
- Loi de **conduction** : $\vec{q} = -\sigma \nabla \theta$.

Si on élimine \vec{q} le problème à résoudre s'écrit:

$$\left\{ \begin{array}{ll} \text{Trouver } \theta(x, t) : \Omega \times]0, T[\longrightarrow \mathbb{R} \text{ tel que:} & \\ \frac{\partial \theta}{\partial t} - \operatorname{div}(\sigma \nabla \theta) = 0, & x \in \Omega, \quad t > 0, \\ \sigma \frac{\partial \theta}{\partial n} = q_\ell, \quad (-\vec{q} \cdot n = q_\ell) & x \in \Gamma_1, \quad t > 0, \\ \theta = \theta_\ell, & x \in \Gamma_0, \quad t > 0, \\ \theta(x, 0) = \theta_0(x), & x \in \Omega. \end{array} \right.$$

Nature du problème

$$\left\{ \begin{array}{ll} \text{Trouver } \theta(x, t) : \Omega \times]0, T[\longrightarrow \mathbb{R} \text{ tel que:} & \\ \frac{\partial \theta}{\partial t} - \operatorname{div}(\sigma \nabla \theta) = 0, & x \in \Omega, \quad t > 0, \\ \sigma \frac{\partial \theta}{\partial n} = q_\ell, & x \in \Gamma_1, \quad t > 0, \\ \theta = \theta_\ell, & x \in \Gamma_0, \quad t > 0, \\ \theta(x, 0) = \theta_0(x), & x \in \Omega. \end{array} \right.$$

Le **temps** faisant partie explicitement des **variables** du problème, on a affaire à un problème d'**évolution**.

Tant **mathématiquement** que **numériquement**, les variables x et t jouent un rôle **différent**.

Nature du problème

$$\left\{ \begin{array}{ll} \text{Trouver } \theta(x, t) : \Omega \times]0, T[\longrightarrow \mathbb{R} \text{ tel que:} & \\ \frac{\partial \theta}{\partial t} - \operatorname{div}(\sigma \nabla \theta) = 0, & x \in \Omega, \quad t > 0, \\ \sigma \frac{\partial \theta}{\partial n} = q_\ell, & x \in \Gamma_1, \quad t > 0, \\ \theta = \theta_\ell, & x \in \Gamma_0, \quad t > 0, \\ \theta(x, 0) = \theta_0(x), & x \in \Omega. \end{array} \right.$$

L'équation de la **chaleur** est le prototype des équations **paraboliques** qui modélisent les phénomènes de **diffusion**. Elles interviennent aussi en mécanique des **fluides** (milieux **poreux**, diffusion de **polluants**), ou en **finance** (Black-Scholes).

Ces équations seront abordées au cours 8.

Les difficultés de l'analyse mathématique.

Vu de **très loin**, le problème peut être mis sous la forme:

$$\text{Trouver } u \in V \text{ tel que } A u = d$$

où V est un espace **vectoriel** (espace de **fonctions**), A est un **opérateur linéaire**, le vecteur u est la fonction inconnue θ et d représente les données $(\theta_0, \theta_\ell, q_\ell)$.

Cela ressemble à un **système linéaire**.

Les différences majeures, sources de difficultés, sont:

- L'espace **fonctionnel** V est de dimension **infinie**.
- L'opérateur A est un opérateur **différentiel** (non **continu** dans des topologies classiques).

De ce fait, les questions d'**existence** et d'**unicité** de la solution sont très **déliçates**.

Notion de problème bien posé.

Soit $(S, \|\cdot\|_S)$ et $(D, \|\cdot\|_D)$ deux espaces **vectoriels normés** et F une **application** (non nécessairement linéaire) de S dans D ouvert de D . On dira que le problème:

$$(P) \quad \text{Trouver } u \in S \text{ tel que } F(u) = d$$

est **bien posé** au sens de **Hadamard** si:

- Pour tout d dans D , (P) admet une **solution** et **une seule**.
- Cette solution dépend **continument** de la donnée d :

$$d^n \rightarrow d \text{ dans } D \implies u^n \rightarrow u \text{ dans } S$$

Dans le cas F **linéaire**, $D = D$ et la condition de **continuité** se traduit par l'existence d'une constante C telle que:

$$\|u\|_S \leq C \|d\|_D.$$

Notion de problème bien posé.

Attention, la notion de problème bien posé n'est pas **intrinsèque**. Elle est liée au **choix** des espaces S et D et surtout au choix des **normes** $\|\cdot\|_S$ et $\|\cdot\|_D$.

On dit aussi que le problème est **stable** en norme $\|\cdot\|_S$ par rapport à la norme $\|\cdot\|_D$.

La notion de **stabilité** du problème continu est un pré-requis quasiment indispensable en vue de l'**approximation numérique**.

Stabilité L^2 du problème de Cauchy.

On admet ici le résultat d'**existence** et **unicité** pour notre problème modèle et on va s'intéresser à un résultat de **stabilité**.

On va se restreindre à $\theta_\ell = q_\ell = 0$ auquel cas la seule donnée est θ_0 (problème de **Cauchy**).

On va établir le résultat de **stabilité**:

$$\forall t > 0, \quad \|\theta(t)\|_{L^2(\Omega)} \leq \|\theta_0\|_{L^2(\Omega)}.$$

Le résultat va apparaître comme une **estimation a priori**, c'est à dire une estimation qu'on est capable d'obtenir **sans connaître** explicitement la solution.

L'estimation a priori.

On multiplie l'équation par θ et on intègre sur Ω :

$$\int_{\Omega} \frac{\partial \theta}{\partial t} \theta \, dx - \int_{\Omega} \operatorname{div}(\sigma \nabla \theta) \theta \, dx = 0$$

On remarque que:

$$\int_{\Omega} \frac{\partial \theta}{\partial t} \theta \, dx = \int_{\Omega} \frac{\partial}{\partial t} \left(\frac{\theta^2}{2} \right) \, dx = \frac{1}{2} \frac{d}{dt} \int_{\Omega} \theta^2 \, dx.$$

On utilise la formule de **Green** (intégration par **parties**):

$$- \int_{\Omega} \operatorname{div}(\sigma \nabla \theta) \theta \, dx = \int_{\Omega} \sigma |\nabla \theta|^2 \, dx - \sigma \int_{\Gamma} \frac{\partial \theta}{\partial n} \theta \, d\gamma$$

(θ s'annule sur Γ_0 , $\frac{\partial \theta}{\partial n}$ sur Γ_1 .)

L'estimation a priori.

On multiplie l'équation par θ et on intègre sur Ω :

$$\int_{\Omega} \frac{\partial \theta}{\partial t} \theta \, dx - \int_{\Omega} \operatorname{div}(\sigma \nabla \theta) \theta \, dx = 0$$

On remarque que:

$$\int_{\Omega} \frac{\partial \theta}{\partial t} \theta \, dx = \int_{\Omega} \frac{\partial}{\partial t} \left(\frac{\theta^2}{2} \right) \, dx = \frac{1}{2} \frac{d}{dt} \int_{\Omega} \theta^2 \, dx.$$

On utilise la formule de **Green** (intégration par **parties**):

$$- \int_{\Omega} \operatorname{div}(\sigma \nabla \theta) \theta \, dx = \int_{\Omega} \sigma |\nabla \theta|^2 \, dx$$

(θ s'annule sur Γ_0 , $\frac{\partial \theta}{\partial n}$ sur Γ_1 .)

L'estimation a priori.

On obtient par conséquent l'**identité**:

$$\frac{1}{2} \frac{d}{dt} \int_{\Omega} \theta^2 \, dx + \int_{\Omega} \sigma |\nabla \theta|^2 \, dx = 0.$$

Compte tenu de la **positivité** de σ il vient:

$$\frac{1}{2} \frac{d}{dt} \int_{\Omega} \theta^2 \, dx \leq 0,$$

dont on déduit:

$$\forall t > 0, \quad \int_{\Omega} \theta(x, t)^2 \, dx \leq \int_{\Omega} \theta_0(x)^2 \, dx$$

Approximation numérique.

On va se placer en **dimension 1**:

$$\Omega =]0, L[, \quad \Gamma_0 = \{0\}, \quad \Gamma_1 = \{L\}.$$

Le problème à résoudre s'écrit:

$$\left\{ \begin{array}{ll} \text{Trouver } u(x, t) :]0, L[\times]0, T[\longrightarrow \mathbf{R} \text{ tel que:} & \\ \frac{\partial u}{\partial t} - \frac{\partial}{\partial x} \left(\sigma \frac{\partial u}{\partial x} \right) = 0, & x \in]0, L[, \quad t > 0, \\ \sigma \frac{\partial u}{\partial x}(L, t) = q_\ell(t), & t > 0, \\ u(0, t) = \theta_\ell(t), & t > 0, \\ u(x, 0) = u_0(x), & x \in]0, L[. \end{array} \right.$$

Méthode des différences finies: le principe.

L'idée est de calculer (une **approximation** de) la solution aux points d'une **grille de calcul** suffisamment fine.

Pour cela, on se donne un **pas** de discrétisation en **espace** $\Delta x = L/(J+1) > 0$ et un **pas** de discrétisation en **temps** $\Delta t > 0$ et on va chercher à calculer:

$$u_j^n \sim u(x_j, t^n), \quad x_j = j\Delta x, \quad t^n = n\Delta t.$$

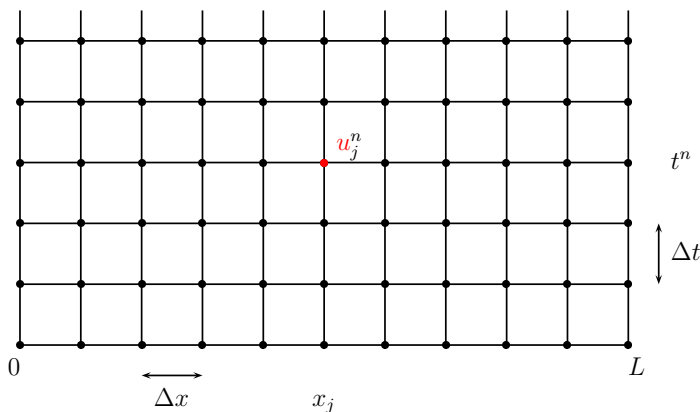
L'espoir est que, lorsque Δx et Δt tendront vers 0, l'erreur commise

$$e_j^n = u_j^n - u(x_j, t^n).$$

tendra (en un sens à préciser) vers 0.

Méthode des différences finies.

Points de calcul: $x_j = j \Delta x$, $0 \leq j \leq J + 1$, $t^n = n\Delta t$, $n \geq 0$.



Introduction au calcul scientifique pour les EDP de la physique. – p.15/21

Méthode des différences finies: le principe.

Pour produire les **équations** définissant les inconnues **discrètes**, l'idée est d'écrire (de façon approchée) l'EDP à résoudre en chaque **point intérieur** de la grille de calcul.

Pour cela il faut définir des approximations d'**opérateurs différentiels** ne faisant appel qu'aux valeurs discrètes: ce sont les **opérateurs aux différences**.

Les équations manquantes sont fournies par la prise en compte des conditions **initiales** et des conditions aux **limites**.

Après discrétisation, on est ramené à la résolution d'un problème posé en **dimension finie**, traitable sur **ordinateur**.

Introduction au calcul scientifique pour les EDP de la physique. – p.16/21

Construction d'opérateurs aux différences.

L'idée de base est de revenir à la définition d'une dérivée

$$f'(x) = \lim_{h \rightarrow 0} \frac{f(x+h) - f(x)}{h}, = \lim_{h \rightarrow 0} \frac{f(x+h) - f(x-h)}{2h}, \dots$$

Introduction au calcul scientifique pour les EDP de la physique. – p.17/21

Construction d'opérateurs aux différences.

Approximation de $\frac{\partial u}{\partial t}(x_j, t^n)$.

$$\frac{\partial u}{\partial t}(x_j, t^n) \sim \frac{u_j^{n+1} - u_j^n}{\Delta t}$$

C'est une approximation **décentrée à droite**, d'**ordre 1** car l'**erreur de troncature**

$$\begin{aligned} \varepsilon_j^n &= \frac{u(x_j, t^{n+1}) - u(x_j, t^n)}{\Delta t} - \frac{\partial u}{\partial t}(x_j, t^n) \\ \text{(Taylor)} &= \frac{\Delta t}{2} \frac{\partial^2 u}{\partial t^2}(x_j, t^n) + O(\Delta t^2) \end{aligned}$$

Introduction au calcul scientifique pour les EDP de la physique. – p.17/21

Construction d'opérateurs aux différences.

Approximation de $\frac{\partial}{\partial x}(\sigma \frac{\partial u}{\partial x})(x_j, t^n)$.

Construction d'opérateurs aux différences.

Supposons connu $v_{j+\frac{1}{2}}^n = v(x_{j+\frac{1}{2}}, t^n)$, $v = \sigma \frac{\partial u}{\partial x}$.

On réalise alors une approximation **centrée**, d'**ordre 2** avec:

$$\frac{\partial}{\partial x}(\sigma \frac{\partial u}{\partial x})(x_j, t^n) = \frac{\partial v}{\partial x}(x_j, t^n) \sim \frac{v_{j+\frac{1}{2}}^n - v_{j-\frac{1}{2}}^n}{\Delta x}$$

On fait alors l'approximation (**centrée**):

$$v_{j+\frac{1}{2}}^n \sim \sigma_{j+\frac{1}{2}} \frac{u_{j+1}^n - u_j^n}{\Delta x}$$

pour aboutir à:

$$\frac{\partial}{\partial x}(\sigma \frac{\partial u}{\partial x})(x_j, t^n) \sim \frac{1}{\Delta x} \left(\sigma_{j+\frac{1}{2}} \left(\frac{u_{j+1}^n - u_j^n}{\Delta x} \right) - \sigma_{j-\frac{1}{2}} \left(\frac{u_j^n - u_{j-1}^n}{\Delta x} \right) \right)$$

Construction d'opérateurs aux différences.

Lorsque σ est **constant** on a fait l'approximation:

$$\sigma \frac{\partial^2 u}{\partial x^2}(x_j, t^n) \sim \sigma \frac{u_{j+1}^n - 2u_j^n + u_{j-1}^n}{\Delta x^2}$$

qui est une approximation d'**ordre 2** ainsi que le montre l'estimation de l'**erreur de troncature**:

$$\left| \begin{aligned} \varepsilon_j^n &= \sigma \frac{u(x_{j+1}, t^n) - 2u(x_j, t^n) + u(x_{j-1}, t^n)}{\Delta x^2} - \sigma \frac{\partial^2 u}{\partial x^2}(x_j, t^n) \\ &= \sigma \frac{\Delta x^2}{12} \frac{\partial^4 u}{\partial x^4}(x_j, t^n) + O(\Delta x^4) \end{aligned} \right.$$

Le schéma numérique

Pour $n \geq 0$ et $1 \leq j \leq J-1$:

$$\frac{u_j^{n+1} - u_j^n}{\Delta t} - \frac{1}{\Delta x} \left(\sigma_{j+\frac{1}{2}} \left(\frac{u_{j+1}^n - u_j^n}{\Delta x} \right) - \sigma_{j-\frac{1}{2}} \left(\frac{u_j^n - u_{j-1}^n}{\Delta x} \right) \right) = 0.$$

$$\left\{ \begin{array}{ll} \text{Pour } 1 \leq j \leq J-1: & u_j^0 = u_{0,j}. \\ \text{Pour } n \geq 0: & u_0^n = u_\ell^n. \\ \text{Pour } n \geq 0: & \frac{u_j^n - u_{j-1}^n}{\Delta x} = q_\ell^n. \end{array} \right.$$

Le schéma numérique

Pour $n \geq 0$ et $1 \leq j \leq J - 1$:

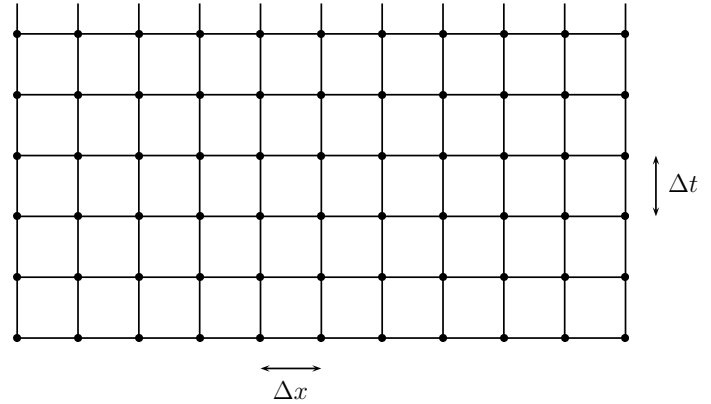
$$u_j^{n+1} = u_j^n + \frac{\Delta t}{\Delta x^2} \left(\sigma_{j+\frac{1}{2}} (u_{j+1}^n - u_j^n) - \sigma_{j-\frac{1}{2}} (u_j^n - u_{j-1}^n) \right) = 0.$$

$$\begin{cases} \text{Pour } 1 \leq j \leq J - 1: & u_j^0 = u_{0,j}. \\ \text{Pour } n \geq 0: & u_0^n = u_\ell^n. \\ \text{Pour } n \geq 0: & u_J^n = u_{J-1}^n + \Delta x q_\ell^n. \end{cases}$$

Il s'agit d'un schéma **explicite**.

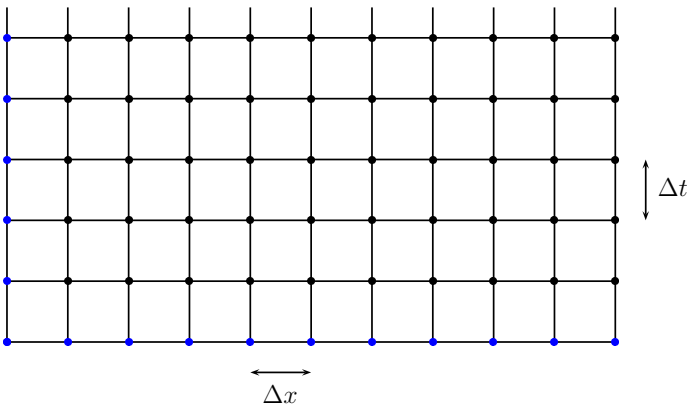
Mise en oeuvre du schéma numérique.

On construit la grille de **calcul**.



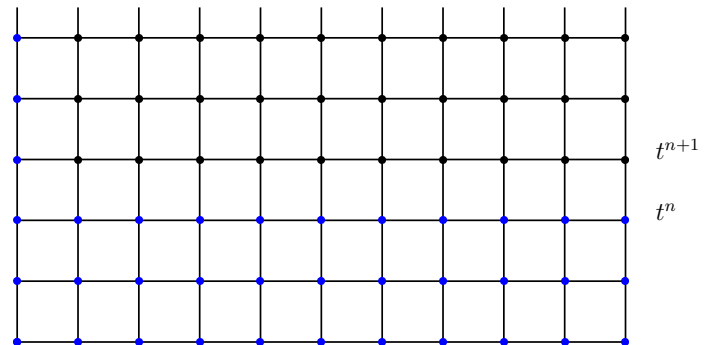
Mise en oeuvre du schéma numérique.

On prend en compte les condition **initiale** et de **Dirichlet**.



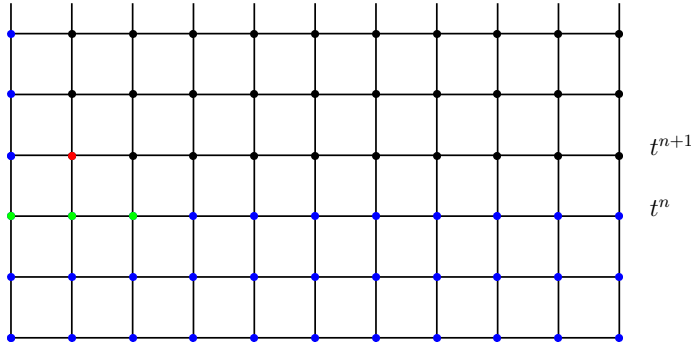
Mise en oeuvre du schéma numérique.

Supposons la solution calculée jusqu'à l'instant t^n .



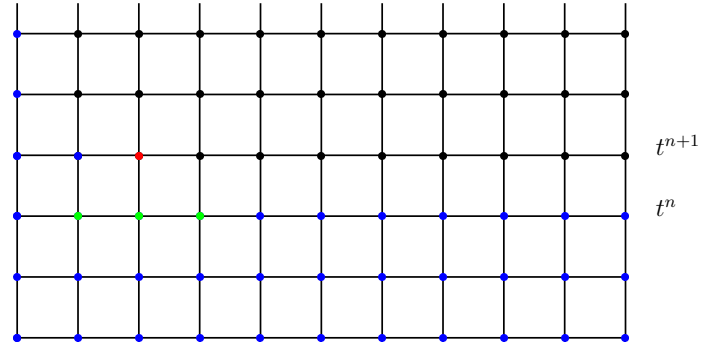
Mise en oeuvre du schéma numérique.

Application du schéma **intérieur**.



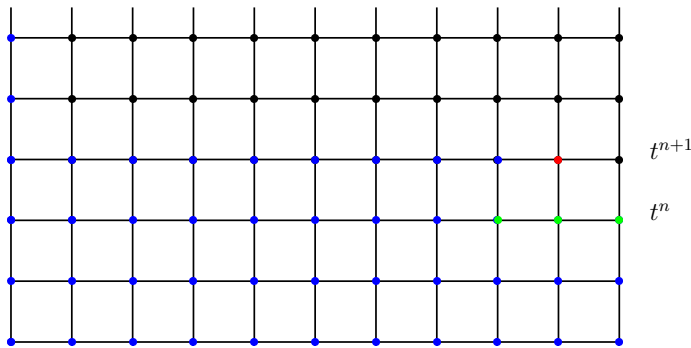
Mise en oeuvre du schéma numérique.

Application du schéma **intérieur**.



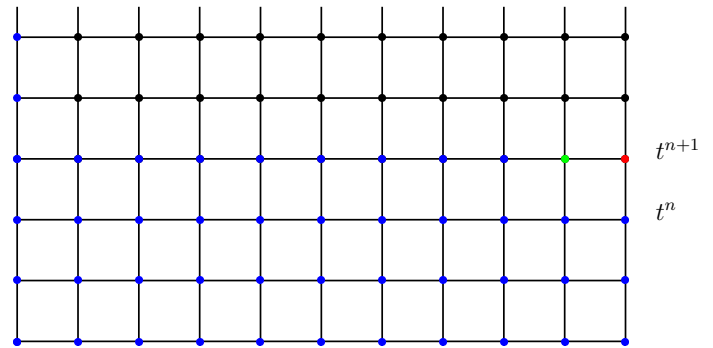
Mise en oeuvre du schéma numérique.

Application du schéma **intérieur**.



Mise en oeuvre du schéma numérique.

Application de la condition de **Neumann**.



L'analyse numérique.

C'est une branche des **mathématiques** qui s'est développée avec l'avènement des **ordinateurs**.

L'analyse numérique des **équations aux dérivées partielles** est l'art de **maîtriser** le passage du **continu** au **discret**.

- Montrer que le problème **approché** est bien posé: existence et unicité de u_h .
- Montrer la **convergence** : $u_h \rightarrow u$ quand $h \rightarrow 0$.
 - La **stabilité** : borne **uniforme** du type $\|u_h\| \leq C$.
 - La **consistance** : approximation des **équations**.
- Obtenir des **estimations d'erreur**: $\|u - u_h\| \leq ?$.

En principe : **stabilité** + **consistance** \implies **convergence**.

Un exemple de schéma instable.

Revenons à notre problème modèle. Pour améliorer la précision de notre méthode on peut penser à utiliser une approximation **centrée** de la dérivée en temps.

$$\frac{u_j^{n+1} - u_j^{n-1}}{2\Delta t} - \frac{1}{\Delta x} \left(\sigma_{j+\frac{1}{2}} \left(\frac{u_{j+1}^n - u_j^n}{\Delta x} \right) - \sigma_{j-\frac{1}{2}} \left(\frac{u_j^n - u_{j-1}^n}{\Delta x} \right) \right) = 0.$$

Un tel schéma se révèle inconditionnellement **instable**.

Autres exemples.

Problèmes stationnaires elliptiques.

Nous faisons l'hypothèse que quand $t \rightarrow +\infty$:

$$\begin{cases} \theta_\ell(x, t) \rightarrow \theta_\ell^\infty(x) & x \in \Gamma_0 \\ q_\ell(x, t) \rightarrow q_\ell^\infty(x) & x \in \Gamma_1 \end{cases}$$

On peut démontrer la convergence vers un état **stationnaire**

$$\theta(x, t) \rightarrow \theta^\infty(x), \quad t \rightarrow +\infty,$$

où $\theta^\infty : \Omega \rightarrow \mathbb{R}$ est solution du **problème aux limites**:

Autres exemples.

Problèmes stationnaires elliptiques.

On peut démontrer la convergence vers un état **stationnaire**

$$\theta(x, t) \rightarrow \theta^\infty(x), \quad t \rightarrow +\infty,$$

où $\theta^\infty : \Omega \rightarrow \mathbb{R}$ est solution du **problème aux limites**:

$$\begin{cases} -\operatorname{div}(\sigma \nabla \theta^\infty) = 0, & \text{dans } \Omega, \\ \theta^\infty = \theta_\ell, & \text{sur } \Gamma_0, \\ \sigma \frac{\partial \theta^\infty}{\partial n} = q_\ell, & \text{sur } \Gamma_0. \end{cases}$$

Autres exemples.

Problèmes stationnaires elliptiques.

$$\begin{cases} -\operatorname{div}(\sigma \nabla \theta^\infty) = 0, & \text{dans } \Omega, \\ \theta^\infty = \theta_\ell, & \text{sur } \Gamma_0, \\ \sigma \frac{\partial \theta^\infty}{\partial n} = q_\ell, & \text{sur } \Gamma_0. \end{cases}$$

Ce problème est le prototype des **problèmes elliptiques** qu'on rencontre aussi en **mécanique des solides** et des **fluides** (phénomènes d'équilibre), en **électrostatique**,...

Seront étudiés dans les cours 2,3,4,5.

Autres exemples.

Problèmes hyperboliques linéaires. (Cours 9 et 10)

La propagation du **son** dans un fluide est régie par l'**équation des ondes** acoustiques:

$$\frac{1}{\rho_0 c_0^2} \frac{\partial^2 p}{\partial t^2} - \operatorname{div} \left(\frac{1}{\rho_0} \nabla p \right) = f,$$

où l'inconnue p désigne la (variation de) **pression**, ρ_0 désigne la **densité** du fluide, c_0 la **célérité** du son et f un terme **source**.

Au même titre que l'**équation de transport**, l'équation des ondes est le **prototype** de l'équation **hyperbolique linéaire** qui décrit des phénomènes de **propagation**.

On rencontre aussi ce type d'équation en **électromagnétisme** (Maxwell) ou en **mécanique du solide** (élastodynamique).

Autres exemples.

Problèmes de type Fredholm.

Si le terme source est **harmonique** en temps:

$$f(x, t) = f_\infty(x) \exp i\omega t$$

où la **pulsation** $\omega > 0$ est donnée, on aura le comportement en temps long:

$$p(x, t) \sim p_\infty(x) \exp i\omega t, \quad t \rightarrow +\infty.$$

où p_∞ est solution de l'équation de **Helmholtz**:

$$-\operatorname{div} \left(\frac{1}{\rho_0} \nabla p_\infty \right) - \frac{\omega^2}{\rho_0 c_0^2} p_\infty = f_\infty(x).$$

C'est le prototype du problème elliptique **non coercif** mais de type **Fredholm**, traité dans les cours 6 et 7.

Autres exemples.

Problèmes hyperboliques non linéaires.

Ces modèles interviennent pour la description des phénomènes de propagation **non linéaire**, surtout en mécanique des fluides (propagation des **chocs**, ondes de **détente**,...) mais aussi pour la modélisation du **traffic routier** (modélisation des **bouchons**).

En dimension 1, l'équation **modèle** est ($f : \mathbb{R} \rightarrow \mathbb{R}$):

$$\frac{\partial u}{\partial t} + \frac{\partial}{\partial x} f(u) = 0, \quad x \in \mathbb{R}, t > 0.$$

- $f(u) = au$: équation de **transport**.
- $f(u) = u^2/2$: équation de **Burgers**.

Cette équation sera traitée aux cours 11 et 12.